

СЛОЖНЫЕ СИСТЕМЫ: МОДЕЛИ, АНАЛИЗ И УПРАВЛЕНИЕ



МАТЕМАТИЧЕСКОЕ МОДЕЛИРОВАНИЕ

УДК 517.55; 517.988

А.С. Крюковский¹
Ю.И. Бова²

A.S. Kryukovsky
Yu.I. Bova

КЛАССИФИКАЦИЯ ПРОСТРАНСТВЕННО-ВРЕМЕННЫХ КРАЕВЫХ КАТАСТРОФ И РАВНОМЕРНЫЕ АСИМПТОТИЧЕСКИЕ РЕШЕНИЯ ВОЛНОВЫХ УРАВНЕНИЙ, ОПИСЫВАЮЩИХ РАСПРОСТРАНЕНИЕ ВОЛН В ИОНОСФЕРНОЙ ПЛАЗМЕ³

CLASSIFICATION OF SPACE-TIME EDGE CATASTROPHES AND UNIFORM ASYMPTOTIC SOLUTIONS OF THE WAVE EQUATIONS DESCRIBING WAVE PROPAGATION IN IONOSPHERIC PLASMA

Приведены классификация и необходимые и достаточные условия образования краевых катастроф со сложной каустической структурой (как нуль-модальных, так и унимодальных серий) в пространстве-времени при условии распространения электромагнитных волн в плазменной среде с сильной частотной дисперсией. Построены равномерные асимптотические решения волновых уравнений в областях, содержащих специальные функции пространственно-временных волновых катастроф, соответствующих эталонным структурам электромагнитных полей.

Ключевые слова: краевые катастрофы, поля, волны, частотная модуляция, дисперсия, равномерные асимптотики, плазма, распространение, пространство-время.

The classification and both necessary and sufficient conditions of formation of edge catastrophes with difficult caustic structures (as zero-modal, and uni-modal series) in space-time under condition of propagation of electromagnetic waves in plasma media with a strong frequency dispersion are given. The uniform asymptotic solutions of the wave equations in regions containing special functions of space-time wave catastrophes, corresponding to reference structures of electromagnetic fields are constructed.

Keywords: edge catastrophes, field, wave, frequency modulation, dispersion, uniform asymptotics, plasma, propagation, space-time.

В работе исследовано применение теории краевых катастроф к проблеме описания распространения электромагнитного излучения в

¹ Доктор физико-математических наук, профессор, декан факультета ИСиКТ АНО ВО «Российский новый университет».

² Заместитель декана факультета ИСиКТ АНО ВО «Российский новый университет».

холодной плазме в нестационарном случае. Рассмотрим условия образования краевых особенностей при распространении частотно-модулированного радиоимпульса в однородной диспергирующей среде – ионосферной плазме. Как ω_p обозначим плазменную частоту. Поместим ис-

³ Работа выполнена при поддержке РФФИ (грант № 15-02-04206-а).

точник излучения в начало координат. Решение задачи может быть представлено в виде (см., например, [1–4]):

$$u(\vec{r}, t) = \frac{1}{2\pi} \int_{-\infty}^{+\infty} \int_{-\infty}^{+\infty} Z(\omega) u_0(\tau) \rightarrow \rightarrow \exp \left[i\omega \left(t - \tau - \frac{r}{c} (\varepsilon(\omega))^{1/2} \right) \right] d\omega d\tau, \quad (1)$$

где c – скорость света; $\vec{r} = (x, y, z)$; $r = |\vec{r}|$;

$$\varepsilon(\omega) = 1 - \frac{\omega_p^2}{\omega^2} \quad (2)$$

– эффективная диэлектрическая проницаемость среды (холодной плазмы);

$$u(\vec{r}, t) \Big|_{r=r_0, t=\tau} = u_0(\eta) = \frac{1}{r_0} D(\eta) \exp \{ i\omega (\tau + f(\tau)) \};$$

$$r_0 \rightarrow 0, \omega_0 \gg \omega_p, \quad (3)$$

а функция $Z(\omega) = |Z(\omega)| \exp \{ i s(\omega) \}$ (4)

– комплексная частотная характеристика фильтра приемного устройства. Рассмотрим полубесконечный радиосигнал, для которого

$$D(\tau) = \chi(\tau) A(\tau), \quad \chi(\tau) = \begin{cases} 1, & \tau \geq 0 \\ 0, & \tau < 0 \end{cases}, \quad (5)$$

ω_0 – несущая частота; $f(\tau)$ – гладкая функция, характеризующая частотную модуляцию радиосигнала, а $A(\tau)$ – огибающая радиосигнала.

Значение интеграла определяется вкладами его критических точек, которые соответствуют лучевым семействам различного типа. Критическими точками интеграла (1) являются седловые точки фазовой функции, а также благодаря функции Хевисайда (см. (5)) – седловыми точками её сужения. Фазовая функция, определяющая совместно со своими сужениями лучевые семейства, которые описывают распространение радиосигналов в пространстве-времени, может быть представлена в виде:

$$\Phi(\tau, \omega, \vec{r}, t) = s(\omega) + \omega \left(t - \tau - \frac{r}{c} \sqrt{\varepsilon(\omega)} \right) + \omega_0 (\tau + f(\tau)). \quad (6)$$

Семейство пространственно-временных геометрооптических лучей находится как решение системы уравнений:

$$\frac{\partial \Phi}{\partial \tau} = \Phi_1 = -\omega + \omega_0 + \omega_0 f_1(\tau) = 0, \quad (7)$$

$$\frac{\partial \Phi}{\partial \omega} = \Phi_2 = t - \tau - \frac{r}{c\sqrt{\varepsilon(\omega)}} + s_1(\omega) = 0, \quad (8)$$

где $f_j = \partial f / \partial \tau_j$, $s_j = \partial s / \partial \omega_j$. Функция $f(\tau)$ с

точки зрения теории катастроф ответственна за пространственно-временную каустическую фокусировку геометрооптических лучей, а с физической точки зрения характеризует компрессию и декомпрессию радиосигнала. Приведем вторые производные фазовой функции Φ по τ и ω :

$$\frac{\partial^2 \Phi}{\partial \tau^2} = \Phi_{11} = \omega_0 f_2(\tau) = 0, \quad (9)$$

$$\frac{\partial^2 \Phi}{\partial \tau \partial \omega} = \Phi_{12} = -1 \neq 0, \quad (10)$$

$$\frac{\partial^2 \Phi}{\partial \omega^2} = \Phi_{22} = \frac{r \omega_p^2}{c \omega^3} (\varepsilon(\omega))^{-3/2} + s_2(\omega) = 0. \quad (11)$$

Можно показать, что

$$\Phi_{1^{k_1} 2^{n_1}} = 0, \quad n_1 > 1, k_1 \geq 1;$$

$$\Phi_{1^n} = \omega_0 f_n(\tau), \quad n \geq 2. \quad (12)$$

В формулах (12) индексами обозначены соответствующие производные по τ (1) и по ω (2).

Из равенства (10) следует, что максимальный коранг матрицы Гесса вторых производных фазовой функции Φ равен 1. Поэтому здесь возможны лишь одномерные каспоидные ($\Sigma = A_N$) фокусировки пространственно-временных геометрооптических лучей [3]. Если функция $f(\tau)$ зависит от τ линейно, а $s = 0$, фокусировки пространственно-временных геометрооптических лучей не возникает. Когда

$$f(\tau) = \frac{1}{2} a \tau^2, \quad s = 0, \quad (13)$$

положение каустики в пространстве-времени (r_c, t_c) как функции параметра τ определяются равенствами:

$$r_c = (\varepsilon_c)^{3/2} \frac{c \omega_c^3}{a \omega_0 \omega_p^2}; \quad t_c = \tau + \frac{r_c}{c \sqrt{\varepsilon_c}};$$

$$\varepsilon_c = \varepsilon(\omega_c); \quad \omega_c = \omega_0 (1 + a\tau). \quad (14)$$

Ранее в различных работах (см., например, в [5–9]) уже рассматривалась гладкая (без края) каустика пространственно-временных геометрооптических лучей.

На рис. 1 показаны каустика с краем (толстая линия), которая соответствует катастрофе V_3 , и пространственно-временные геометрооптические лучи (тонкие линии). Пространственно-временные краевые лучи на рис. 1 не показаны.

В расчетах предполагалось, что круговая частота $\omega_0 = 2\pi f_0$, рабочая частота $f_0 = 13,5$ МГц, круговая плазменная частота $\omega_p = 2\pi f_p$, рабочая плазменная частота $f_p \approx 12,7$ МГц.

При рассмотрении пространственно-временной фокусировки помимо вклада геометрооптических лучей существенную роль играет вклад

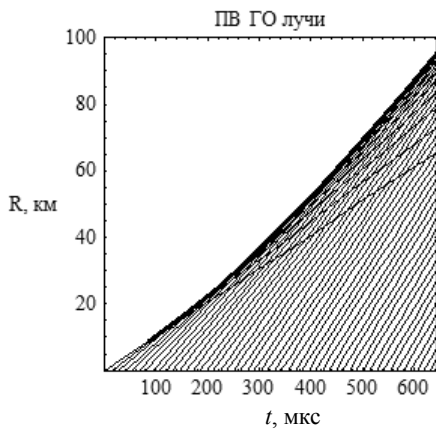


Рис. 1. Каустика с краем и пространственно-временные геометрооптические лучи $a = 1500 \text{ c}^{-1}$

пространственно-временных краевых лучей (см., например, [6; 8; 10]), порождаемых в данном случае начальной точкой полубесконечного радиоимпульса. Игнорировать вклад краевых лучей возможно, либо когда $D(\tau)$ плавная гладкая функция и краевые лучи отсутствуют, либо, с некоторой степенью точности, вдали от границы «свет-тьнь» пространственно-временных геометрооптических лучей, поскольку вклад краевых лучей обычно существенно меньше вклада геометрооптических лучей. Равномерный учет вклада краевых лучей был рассмотрен, например, в работах [11; 12]. Семейство краевых лучей может быть найдено из сужения функции Φ на начало радиоимпульса, то есть на границу $\tau = 0$:

$$\frac{\partial \Phi}{\partial \omega} \Big|_{\tau=0} = t - \frac{r}{c \sqrt{\varepsilon}} + s_1 = 0. \quad (15)$$

Нетрудно заметить, что при $s_2(\omega) = 0$ краевые лучи не фокусируются (поскольку $\sum_E = A_1$). С точки зрения волновой теории катастроф, особенности, возникающие в окрестности границы «свет-тьнь», принадлежат серии $B_{N+1} = (A_N, A_1)$. Поэтому равномерная асимптотика выражается по формуле (см. [4; 13]):

$$u(\vec{r}, t) = e^{i\theta} \left\{ (l_1)_g I^{B_{N+1}}(\vec{\lambda}) + \sum_{k=2}^N (l_k)_g \left(\frac{\partial I^{B_{N+1}}}{\partial \lambda_{k-1}} \right) + (l_1)_E \right\}, \quad (16)$$

в которой $(l_j)_g$ и $(l_j)_E$ – геометрооптические и краевые коэффициенты асимптотического разложения, θ – фаза бегущей волны, λ_j – коэффициенты универсальной деформации, а

$$I^{B_{N+1}}(\lambda_1, \dots, \lambda_N) = \int_0^{+\infty} \exp \left\{ i \left(\zeta^{N+1} + \lambda_N \zeta^N + \dots + \lambda_1 \zeta \right) \right\} d\zeta \quad (17)$$

– специальная функция (СВК) краевой волновой катастрофы B_{N+1} (см. табл. 1).

На рис. 2 и 3 показаны трехмерная амплитудная структура СВК (17) и линии равного уровня, соответственно, а на рис. 4 – фазовая структура.

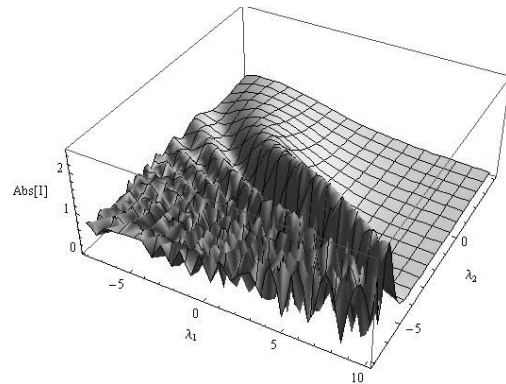


Рис. 2. Амплитуда СВК особенности B_3 в формате 3D

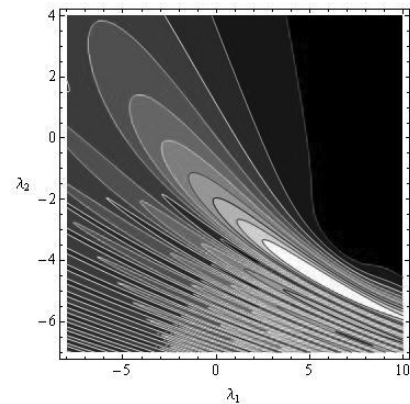


Рис. 3. Амплитуда СВК особенности B_3 , линии равного уровня

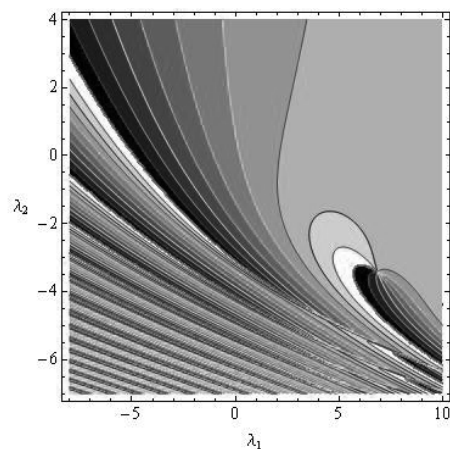


Рис. 4. Фаза СВК особенности B_3 , линии равного уровня

Если, наоборот, частотная модуляция отсутствует ($f(\tau) = 0$), а фазовая характеристика фильтра $s(\omega)$ не равна нулю, то может возникнуть фокусировка краевых лучей каспоидной

серии. Так как пространственно-временные геометрооптические лучи не фокусируются, образуется краевая особенность $C_{N+1}=(A_1, A_N)$ (см. табл. 1). Если $s(\omega)=\frac{1}{2}a(\omega-\omega_0)^2$, уравнение каустики в параметрической форме (параметр ω) имеет вид [3]:

$$r = -ca \frac{\omega^3}{\omega_p^2} (\varepsilon)^{3/2}, \quad \omega_p < \omega < +\infty,$$

$$\omega_p < \omega_0; \quad t = -a \left(\omega - \omega_0 + \varepsilon \frac{\omega^3}{\omega_p^2} \right), \quad a < 0.$$

На рис. 5 показаны пространственно-временные краевые лучи в отсутствие влияния фильтра приемного устройства. Лучи выходят из точки, соответствующей началу радиоимпульса, и не образуют каустики. На рис. 6 показаны краевые лучи и их огибающая (каустика), когда фазовая характеристика фильтра не равна нулю. Пространственно-временные геометрооптические лучи на этих рисунках не показаны. Такой тип особенности является результатом взаимодействия сигнала с фильтром.

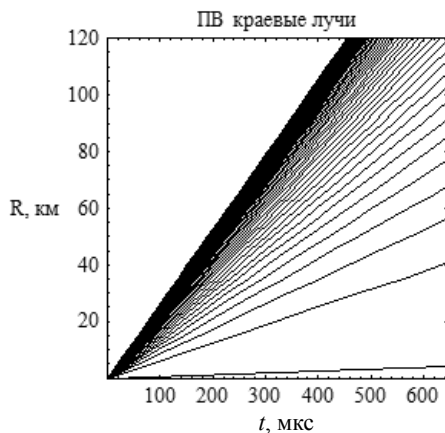


Рис. 5. Пространственно-временные краевые лучи, $a = 0$

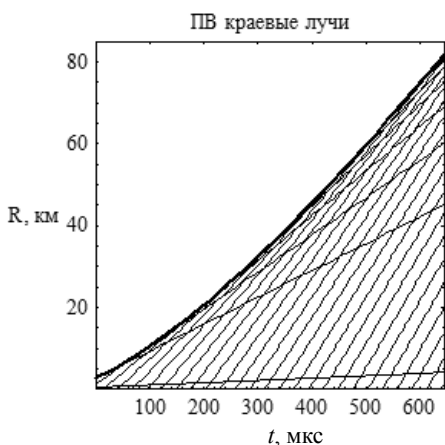


Рис. 6. Пространственно-временные краевые лучи, $a = -1,4 \cdot 10^{-11} c^2$

Равномерная асимптотика для этого случая имеет вид: [11] (см. также [3; 13]):

$$u(\vec{r}, t) = e^{i\theta} \left\{ (l_1)_g I^{C_{N+1}}(\lambda_1 \dots \lambda_N) + (l_1)_E \rightarrow \right.$$

$$\left. \rightarrow I^{A_N}(\lambda_1, \dots, \lambda_{N-1}) + \sum_{k=1}^{N-1} (l_k)_E \frac{\partial I^{A_N}}{\partial \lambda_k} \right\}, \quad (18)$$

где $I^{C_{N+1}}(\lambda_1, \dots, \lambda_N) = \int_0^{+\infty} d\xi \int_{-\infty}^{+\infty} \exp\{i(\zeta\xi + \xi^{N+1} + \rightarrow$

$$\rightarrow + \lambda_N \zeta + \lambda_{N-1} \xi^{N-1} + \dots + \lambda_1 \xi)\} d\xi \quad (19)$$

– СВК краевой волновой катастрофы C_{N+1} , а

$$I^{A_{N+1}}(\lambda_1, \dots, \lambda_{N-1}) =$$

$$= \int_{-\infty}^{+\infty} \exp\{i(\xi^{N+1} + \lambda_{N-1} \xi^{N-1} + \dots + \lambda_1 \xi)\} d\xi \quad (20)$$

– специальная функция сужения, то есть СВК основной волновой катастрофы A_{N+1} .

Рассмотрим теперь ситуацию, когда одновременно и $s(\omega) \neq 0$, и $f(\tau) \neq 0$, когда могут возникнуть каустики и их особенности пространственно-временных геометрооптических лучей и краевых лучей. Положение каустики пространственно-временных геометрооптических лучей в пространстве $R^3 \times T$ определяется системой из трех уравнений с двумя параметрами τ и ω : уравнений (7) (8) и уравнения

$$\omega_0 f_2(\tau) \left(s_2(\omega) + \frac{r \omega_p^2}{c \omega^3} (\varepsilon(\omega))^{-3/2} \right) = 1, \quad (21)$$

а каустика пространственно-временных краевых лучей – системой из двух уравнений с параметром ω :

$$s_2(\omega) + \frac{r \omega_p^2}{c \omega^3} (\varepsilon(\omega))^{-3/2} = 0;$$

$$t = \tau + \frac{r}{c \sqrt{\varepsilon(\omega)}} - s_1(\omega). \quad (22)$$

Анализируя формулы (7–8), (21–22), легко установить, что каустики краевых лучей не пересекаются с каустикой геометрооптических лучей. Поэтому особые центральные сечения (то есть сечения, проходящие через центральную особую точку) краевых катастроф (кроме катастроф B_{N+1} и C_{N+1}) в данной задаче не формируются. Однако образуются сечения каустических структур катастроф типа $\sum = (A_{N_g}, A_{N_E})$ с такими N_g и N_E , которые допустимы в соответствии с классификацией краевых катастроф (см. табл. 1 и 2, а также [13; 14]). В табл. 1 представлены особые ростки простых и некоторых унимодальных краевых катастроф, а в табл. 2 – воз-

мушения. Кроме того, в табл. 1–2 введены обозначения: $N = N_g + N_E$ – кратность особенности,

L – коразмерность особенности, M – модальность катастрофы, a – функциональный модуль.

Таблица 1

№	Σ	Σ_g	Σ_E	Особый росток φ_0^Σ	N	L	M	\bar{a}
1.	B_2	A_1	A_1	$\pm \zeta^2$	2	2	0	1
2.	C_2			$\xi \zeta \pm \xi^2$				2
3.	B_{N+1}	A_N	A_1	$\pm \zeta^{N+1}$	$N+1$	N	0	1
4.	C_{N+1}	A_1	A_N	$\xi \zeta \pm \zeta^{N+1}$	$N+1$	N	0	2
5.	F_4	A_2	A_2	$\pm \zeta^2 \pm \xi^3$	4	3	0	2
6.	$K_{4,2}$	A_3	A_3	$\zeta^2 + a \xi^2 \zeta \pm \xi^4$	6	4	1	2
9.	$K_{1,2N-3}^\#$	A_{2N}	A_3	$(\zeta + \xi^2)^2 + a \xi \zeta^N; N \geq 2$	$2N+3$	$2N+1$	1	2
10.	$K_{1,2N-4}^\#$	A_{2N-1}	A_3	$(\zeta + \xi^2)^2 + a \zeta^N; N \geq 3$	$2N+2$	$2N$	1	2
11.	$K_{N,2}$	A_3	A_{N-1}	$a \zeta^2 + \zeta \xi^2 \pm \xi^N; N \geq 5$	$N+2$	N	1	2
12.	K_8^{**}	A_4	A_4	$\xi^5 + \zeta^2 + a \zeta \xi^3$	8	6	1	2

Таблица 2

№	Σ	Возмущения: $\varphi_1^\Sigma, \dots, \varphi_L^\Sigma$	Ограничения на функциональный модуль a
1.	B_2	ζ	–
2.	C_2	$\xi(\zeta)$	–
3.	B_{N+1}	ζ, \dots, ζ^N	–
4.	C_{N+1}	$\xi, \dots, \xi^N (\xi, \dots, \xi^{N-1}, \zeta)$	–
5.	F_4	$\xi, \zeta, \xi \zeta$	–
6.	$K_{4,2}$	$\xi, \xi^2, \zeta, \xi \zeta$	$a^2 \neq \pm 4$
9.	$K_{1,2N-3}^\#$	$\zeta, \dots, \zeta^N, \xi \zeta^0, \dots, \xi \zeta^{N-1}, \xi^2$	$a \neq 0$
10.	$K_{1,2N-4}^\#$	$\zeta, \dots, \zeta^{N-1}, \xi \zeta^0, \dots, \xi \zeta^{N-1}, \xi^2$	$a \neq 0$
11.	$K_{N,2}$	$\xi \zeta, \xi, \dots, \xi^{N-2}, \zeta$	$a \neq 0$
12.	K_8^{**}	$\xi, \xi^2, \xi^3, \zeta, \xi \zeta, \zeta \xi^2$	–

Для того чтобы составить универсальную деформацию особенности, необходимо, выбрав катастрофу (строчку в таблице), записать особый росток из табл. 1 и аддитивно добавить к нему возмущения из табл. 2 с коэффициентами λ_i .

Положения центров краевых катастроф можно определить, пользуясь необходимыми и достаточными условиями, приведенными в табл. 3 [4; 13–18].

Таблица 3

Σ	Σ_g, Σ_E	$\bar{\alpha}$	Необходимые и достаточные условия Общее условие: $\Phi_1 = \Phi_2 = \Phi_3 = 0$
B_{N+1}	$A_N A_1$	1	$\Phi_k = 0, k=1, \dots, N; \Phi_{N+1} \neq 0$
C_{N+1}	$A_1 A_N$	2	$\Phi_{2^k} = 0, k=1, \dots, N; \Phi_{2^{N+1}} \neq 0, \Phi_{12} \neq 0$
F_4	$A_2 A_2$	2	$\Phi_{12} = \Phi_{22} = 0; \Phi_{11} \neq 0; \Phi_{222} \neq 0$
$K_{4,2}$	$A_3 A_3$	2	$\Phi_{2222} \neq 0; \Phi_{11} \neq 0$ $\Phi_{222} = \Phi_{22} = \Phi_{12} = 0;$ $\Phi_{11} \Phi_{2222} \neq 3 \Phi_{122}^2$
$K_{N,2}$	$A_3 A_{N-1}$	2	$\Phi_{2^k} = 0, k=1, \dots, N-1; \Phi_{2^N} \neq 0$ $\Phi_{11} \neq 0; \Phi_{12} = 0; \Phi_{122} \neq 0; N \geq 5$
$K_{1,1}^\#$	$A_4 A_3$	2	$\Phi_{22} = \Phi_{12} = \Phi_{222} = 0; \Phi_{2222} \neq 0; \Phi_{11} \neq 0$ $\Phi_{11} \Phi_{2222} = 3 \Phi_{122}^2; \Phi_{11}^2 \Phi_{22222} \neq 10 \Phi_{11} \Phi_{122} \Phi_{1222} - 15 \Phi_{112} (\Phi_{122})^2$
$K_{1,2}^\#$	$A_5 A_3$	2	$\Phi_{22} = \Phi_{12} = \Phi_{222} = 0; \Phi_{2222} \neq 0; \Phi_{11} \neq 0$ $\Phi_{11} \Phi_{2222} = 3 \Phi_{122}^2; \Phi_{11}^2 \Phi_{22222} = 10 \Phi_{11} \Phi_{122} \Phi_{1222} - 15 \Phi_{112} (\Phi_{122})^2;$ $\Phi_{11}^3 \Phi_{222222} \neq 15 \Phi_{11}^2 \Phi_{12222} \Phi_{122} + 15 \Phi_{111} \Phi_{122}^3 -$ $- 45 \Phi_{11} \Phi_{1122} \Phi_{122}^2 + 10 [\Phi_{11} \Phi_{1222} - 3 \Phi_{112} \Phi_{122}]^2$
K_8^{**}	$A_4 A_4$	2	$\Phi_{22} = \Phi_{12} = \Phi_{222} = \Phi_{122} = \Phi_{2222} = 0; \Phi_{22222} \Phi_{11} \neq 0$

В общем случае равномерная асимптотика выражается по формуле (подробнее см. [13, 14]):

$$u(\vec{r}, t) = e^{i\theta} \left\{ (l_1)_g I^\Sigma(\vec{S}) + \sum_{k=2}^{N_g} (l_k)_g \frac{\partial I^\Sigma}{\partial S_{k-1}^g} + (l_1)_E I^{\Sigma_E}(\vec{S}^E) + \sum_{k=2}^{N_E} (l_k)_E \frac{\partial I^{\Sigma_E}}{\partial S_{k-1}^E} \right\}. \quad (23)$$

Здесь $I^\Sigma(\vec{S})$ – СВК краевой волновой катастрофы $\Sigma = (\Sigma_g, \Sigma_E)$, $\vec{S} = (\vec{S}^g, \vec{S}^E)$ – аргументы СВК, включающие коэффициенты (λ_i) и функциональные модули (a) , $I^{\Sigma_E}(\vec{S}^E)$ – специальная функция сужения катастрофы на границу $\tau = 0$, то есть СВК основной волновой катастрофы типа Σ_E , N_g – кратность (число лучей) геометрооптической катастрофы Σ_g , N_E – кратность (число лучей) краевой катастрофы Σ_E .

В частности, если

$$s(\omega) = \frac{1}{2} \alpha (\omega - \omega_0)^2, f(\tau) = \frac{1}{2} b \tau^2, \quad (24)$$

то образуется сечение краевой катастрофы $F_4 = (A_2, A_2)$. На рис. 7 и 8 показаны сплошными тонкими линиями пространственно-временные геометрооптические лучи, толстой линией с точкой обрыва – каустика пространственно-временных геометрооптических лучей, штриховыми линиями – пространственно-временные краевые лучи и толстой непрерывной линией – каустика краевых лучей. Предельный геометрооптический луч касается как каустики геометрооптических лучей, так и каустики краевых лучей, но в разных точках:

$$r_{cg} = \frac{1}{\beta} \left(\frac{1}{b \omega_0} - \alpha \right); r_{cE} = -\frac{\alpha}{\beta}; \alpha < 0,$$

$$r_{cg} > r_{cE}; \beta = \frac{\omega_p^2}{\omega_0^3} (\varepsilon(\omega_0))^{-3/2}.$$

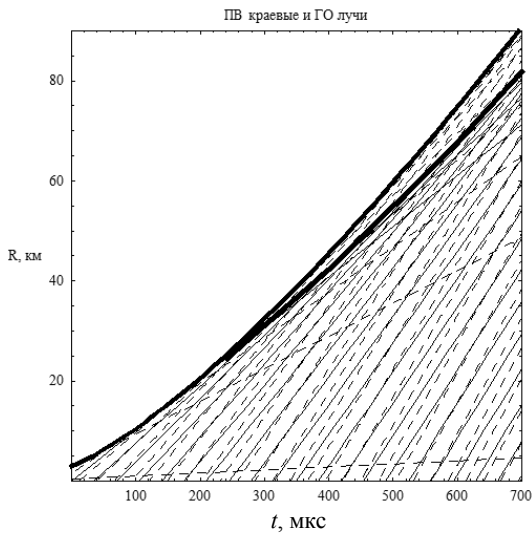


Рис. 7. Лучевая и каустическая структуры, $b = 1500 \text{ c}^{-1}$, $\alpha = -1,4 \cdot 10^{-11} \text{ c}^2$

На рис. 8, являющемся фрагментом рис. 7, видно, что каустики не пересекаются.

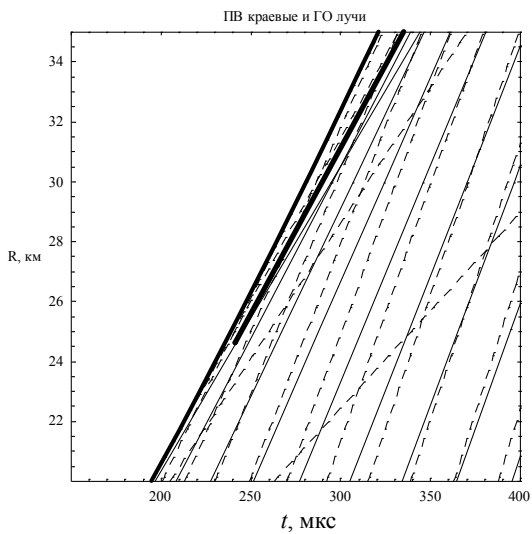


Рис. 8. Лучевая и каустическая структуры, фрагмент рис. 7, $b = 1500 \text{ c}^{-1}$, $\alpha = -1,4 \cdot 10^{-11} \text{ c}^2$

Равномерная асимптотика радиосигнала в случае особенности F_4 имеет вид:

$$u(\vec{r}, t) = e^{i\theta} \left\{ (l_1)_g I^{F_4}(\lambda_1, \lambda_2, \lambda_3) + (l_2)_g \frac{\partial I^{F_4}}{\partial \lambda_2} + (l_1)_E A_i^+(\lambda_1) + (l_2)_E \frac{\partial A_i^+(\lambda_1)}{\partial \lambda_1} \right\}, \quad (25)$$

где $I^{F_4}(\lambda_1, \lambda_2, \lambda_3) = \int_0^{+\infty} d\zeta \int_{-\infty}^{+\infty} \exp\{i(\pm\zeta^2 + \rightarrow + \zeta^3 + \lambda_1 \zeta + \lambda_2 \zeta + \lambda_3 \zeta \zeta)\} d\zeta \quad (26)$

– СВК краевой волновой катастрофы F_4 ,

$$A_i^\pm(\lambda_1) = I^{A_2}(\lambda_1) = \int_{-\infty}^{+\infty} \exp\{i(\pm\zeta^3 + \lambda_1 \zeta)\} d\zeta \quad (27)$$

– функция Эйри (СВК основной волновой катастрофы A_2).

Аналогично могут быть исследованы и более сложные краевые особенности. Например, равномерная асимптотика радиосигнала в случае унимодальной краевой катастрофы $K_{4,2}$ [19] имеет вид:

$$u(\vec{r}, t) = e^{i\theta} \left\{ (l_1)_g I^{K_{4,2}}(a; \lambda_1, \lambda_2, \lambda_3, \lambda_4) + (l_2)_g \frac{\partial I^{K_{4,2}}}{\partial \lambda_3} + (l_3)_g \frac{\partial I^{K_{4,2}}}{\partial \lambda_4} + (l_1)_E I^{A_3}(\lambda_1, \lambda_2) + (l_2)_E \frac{\partial I^{A_3}}{\partial \lambda_1} + (l_3)_E \frac{\partial I^{A_3}}{\partial \lambda_2} \right\}, \quad (28)$$

где $I^{K_{4,2}}(a; \lambda_1, \lambda_2, \lambda_3, \lambda_4) = \int_0^{+\infty} d\zeta \int_{-\infty}^{+\infty} \exp\{i(\zeta^2 + a\zeta^2 \zeta \pm \zeta^3 + \lambda_1 \zeta + \lambda_2 \zeta^2 + \lambda_3 \zeta + \lambda_4 \zeta \zeta)\} d\zeta \quad (29)$

– СВК краевой волновой катастрофы $K_{4,2}$,

$$I^{A_3}(\lambda_1, \lambda_2) = \int_{-\infty}^{+\infty} \exp\{i(\pm\zeta^3 + \lambda_1 \zeta + \lambda_2 \zeta^2)\} d\zeta \quad (30)$$

– функция Пирси (СВК основной волновой катастрофы A_3).

Таким образом, в настоящей работе рассмотрен подход, лежащий в основе применения теории краевых волновых катастроф [13; 20–21] к описанию распространения частотно-модулированных радиосигналов в холодной плазме – ионосфере Земли [23]. Приведены лучевые и каустические структуры для простых (нуль-модальных) катастроф V_{N+1} , C_{N+1} , F_4 и равномерные асимптотики как для простых пространственно-временных краевых особенностей, так и унимодальных.

Литература

1. Крюковский А.С., Лукин Д.С. Краевые и угловые катастрофы в равномерной геометрической теории дифракции : учебное пособие. – М. : МФТИ, 1999. – 134 с.
2. Анютин А.П., Боровиков В.А. Равномерные асимптотики интегралов от быстроосциллирующих функций с особенностями внеэкспоненциального множителя : препринт / ИРЭ АН СССР. – М., 1984. – № 42 (414). – 54 с.
3. Крюковский А.С., Лукин Д.С., Палкин Е.А., Растягаев Д.В. Теория катастроф в проблемах стационарной и нестационарной дифракции //

Труды X школы-семинара по дифракции и распространению волн, 7–15.02.1993. – М. : МФТИ, 1993. – С. 36–111.

4. Крюковский А.С., Скворцова Ю.И. Применение теории катастроф для описания пространственно-временной структуры частотно-модулированного сигнала в плазме // Электромагнитные волны и электронные системы. – 2013. – Т. 18. – № 8. – С. 18–23.

5. Гинзбург В.Л. Распространение электромагнитных волн в плазме. – 2-е изд. – М. : Наука, 1967. – 684 с.

6. Кравцов Ю.А., Островский Л.А., Степанов Н.С. Геометрическая оптика неоднородных и нестационарных движущихся сред // ТИИЭР. – 1974. – Т. 62. – № 11. – С. 91–112.

7. Кравцов Ю.А., Орлов Ю.И. Геометрическая оптика неоднородных сред. – М. : Наука, 1980. – 304 с.

8. Felsen, L.B. Transients in dispersive media, part 1: theory // IEEE Trans. on Ant. and Prop. – 1969. – AP-17. – № 2. – P. 191–200.

9. Lewis, R.M. Asymptotic theory of transients // In: Electromagnetic Wave Theory. Part 2. Ed. by J. Brown. – N.Y. : Pergamon Press, 1967. – P. 845–869.

10. Анютин А.П. Асимптотическая теория распространения радиосигналов в неоднородной плазме // Распространение радиоволн в ионосфере. – М. : ИЗМИРАН СССР, 1978. – С. 29–36.

11. Анютин А.П. Равномерная модификация метода ВГТД в случае произвольной диспергирующей среды и каустик ВГО и ВГТД лучей // Дифракция и распространение волн : междувед. сборник. – М. : МФТИ, 1985. – С. 32–36.

12. Чистяков Д.Н., Крюковский А.С., Лукин Д.С., Растягаев Д.В. Трехмерные пространственно-временные фокусировки радиоимпульсов в нестационарных диспергирующих средах // Труды XII Всероссийской школы-конференции по дифракции и распространению волн, Москва, 19–23.12.2001, РосНОУ : тезисы доклада. – М. : МФТИ (ГУ), 2001. – Т. 2. – С. 456–459.

13. Крюковский А.С. Равномерная асимптотическая теория краевых и угловых волновых катастроф. – М. : РосНОУ, 2013. – 368 с.

14. Крюковский А.С., Лукин Д.С., Палкин Е.А. Краевые и угловые катастрофы в задачах ди-

фракции и распространения волн. – Казань : Каз. авиационный ин-т, 1988. – 199 с.

15. Крюковский А.С. Необходимые и достаточные условия образования основных волновых катастроф с корангом, равным двум // Распространение и дифракция электромагнитных волн : междувед. сб. – М. : МФТИ, 1993. – С. 4–19.

16. Крюковский А.С. Необходимые и достаточные условия образования краевых катастроф // Проблемы дифракции и распространения волн : межвед. сб. – М. : МФТИ, 1994. – С. 47–54.

17. Крюковский А.С., Растягаев Д.В. Исследование устойчивых фокусировок, возникающих при нарушении симметрии волнового фронта // Дифракция и распространение электромагнитных волн : сб. – М. : МФТИ, 1993. – С. 20–37.

18. Крюковский А.С., Растягаев Д.В. О необходимых и достаточных условиях образования каспидных катастроф // Распространение и дифракция волн в неоднородных средах : сборник. – М. : МФТИ, 1989. – С. 56–60.

19. Крюковский А.С., Скворцова Ю.И. Каустическая структура краевой катастрофы $K_{4,2}$ // Вестник Российского нового университета. Серия «Сложные системы: модели, анализ и управление». – 2015. – Выпуск 2(10). – С. 5–9.

20. Ипатов Е.Б., Крюковский А.С., Лукин Д.С., Палкин Е.А. Краевые катастрофы и асимптотики // ДАН СССР. – 1986. – Т. 291. – № 4. – С. 823–827.

21. Крюковский А.С., Лукин Д.С., Палкин Е.А. Равномерные асимптотики и угловые катастрофы // Доклады РАН. – 1995. – Т. 341. – № 4. – С. 456–459.

22. Крюковский А.С., Лукин Д.С., Растягаев Д.В. Теория пространственной фокусировки видеоимпульсов в диспергирующих средах // Электромагнитные волны и электронные системы. – 2007. – Т. 12. – № 8. – С. 15–25.

23. Крюковский А.С., Лукин Д.С., Растягаев Д.В. Математическое моделирование распространения радиоволн в анизотропной неоднородной ионосфере // Вестник Российского нового университета. – 2009. – Выпуск 2. Управление, вычислительная техника и информатика. – С. 7–14.